- 2) Припой на контактной площадке до основания чипа имел зернистую структуру (рис.3).
- 3) Рентген показал наличие пустот под чип-компонентом, однако в самой галтеле припоя пустоты отсутствовали (рис.4).

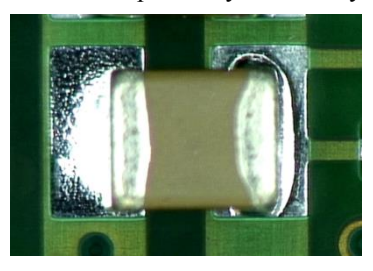


Рисунок 3 - Пример зернистости припоя

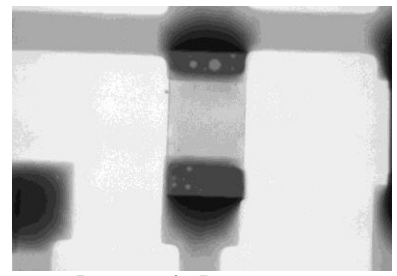


Рисунок 4 - Рентгеновское изображение чип-компонента с зернистой галтелью

В качестве предполагаемых причин возникновения дефекта методом экспертных оценок [2] были предложено следующее:

- 1. Окисление поверхности контактной площадки и выводов чип-компонентов.
  - 2. Ошибки в выборе стратегии нанесения паяльной пасты.
  - 3. Некачественная паяльная паста.
  - 4. Ошибки в формировании термопрофиля.

#### УДК 621.382

### АНАЛИЗ ТЕРМИЧЕСКИХ ОТКАЗОВ В ЭЛЕКТРОННЫХ СРЕДСТВАХ

# А.А. Рожков Самарский университет, г. Самара

Термические отказы можно разделить на следующие основные группы:

- 1) отказы, возникающие вследствие электрических перегрузок проводников;
  - 2) отказы, возникающие под действием внешних тепловых полей;
- 3) отказы, возникающие из-за термических пробоев диэлектриков и полупроводников.

Рассмотрим процесс возникновения отказов гибридной микросхемы вследствие электрических перегрузок в токонесущем проводнике исходя из следующего уравнения сохранения энергии:

$$I^2R_1(1+\alpha_1\Delta T)dt = Cd\Delta T + \frac{\Delta T}{R_{\rm T}}dt, \qquad (1)$$

где I — ток, текущий по проводнику, A;  $R_1$  — сопротивление проводника при температуре окружающей среды, Ом;  $\alpha_1$  – коэффициент температуры окружающей среды:  $\alpha_1 = (T_1 + 234,45)^{-1}$ ;  $T_1$  – окружающая температура,  ${}^{\circ}$ С; t – продолжительность протекания тока по проводнику, с; C – теплоемкость нагреваемого материала, Дж/°С;  $R_{\rm T}$  – тепловое сопротивление проводника в монтаже схемы рассматриваемого типа,  $^{\circ}$ C/Вт;  $\Delta T$  — средний рост температуры по длине проводника,  $^{\circ}$ C.

Левая часть уравнения (1) представляет собой энергию рассеяния, выделяемую протекающим током, а два члена правой части – запасенную энергию и энергию излучения изделия соответственно.

Проведенные исследования показали, что теплоемкость C зависит от времени. Физически это означает, что с течением времени нагревается все больше и больше вещества, причем вначале нагревается только проводник и небольшие части подложки и покрытия. Однако, если временная ось разделяется на соответствующие интервалы времени, оказывается, что теплоемкость С приблизительно постоянна на каждом таком интервале. Средний рост температуры в установившемся режиме:

$$\Delta T_0 = \frac{I^2 R_1 R_{\rm T}}{(1 - I^2 R_1 R_{\rm T} \alpha_1)},\tag{2}$$

где  $C_1$  – теплоемкость на интервале времени [0,  $t_1$ ];  $C_2$  – теплоемкость на интервале времени  $[t_1, t_2]; \hat{C}_3$  – теплоемкость на интервале времени  $[t_2, \infty].$ 

При  $\Delta T_0 \to \infty$  температура проводника быстро поднимается выше допустимого уровня, что приводит к повреждению схемы. Критический ток в этом случае определяется по формуле  $I_{\rm Kp} = \frac{1}{\sqrt{R_1 R_{\rm T} \alpha_1}}.$ 

$$I_{\rm Kp} = \frac{1}{\sqrt{R_1 R_T \alpha_1}}.$$
 (3)

При  $t \to 0$ , т. е. в начальной стадии прохождения тока, процесс нагрева является адиабатическим, и рост температуры определяется соотношением

$$\Delta T = I^2 R_1 t / C_1 . \tag{4}$$

При  $t \to \infty$  рост температуры определяется по формуле

$$\Delta T = \Delta T_0 = \frac{I^2 R_1 R_T}{(1 - I^2 R_1 R_T \alpha_1)},\tag{5}$$

т. е. рост температуры в установившемся режиме зависит от произведения электрического сопротивления (свойство проводника) и теплового сопротивления (свойство окружения проводника). Таким образом, для данного тока I и температуры окружающей среды  $T_1$  велечину  $\Delta T_0$  можно снизить только уменьшая произведение  $R_1R_{\rm T}$ .

Параметры, необходимые для расчетов по формулам (1) - (5) определялись экспериментально. Экспериментальный метод определения параметров базируется на измерении роста температуры  $\Delta T$  вдоль в функции времени при приложении скачкообразно проводника

изменяющегося тока. Измерение основано на формуле термометра сопротивления

$$\frac{U}{I} = R = R_1[1 + \alpha_1 \Delta T],$$

где U — напряжение на проводнике; I — скачок изменяющегося тока; R — измеренное сопротивление проводника.

Процедура измерения  $\Delta T$  следующая: регистрируется температура окружающей среды  $T_1$  и с помощью мостика Кельвина переменного тока измеряется  $R_1$ , для чего по проводнику пропускают небольшой ток (100мА или меньше), который вызывает незначительный подъем температуры. Затем скачкообразно изменяющийся ток пропускают через испытуемый проводник, что приводит к падению напряжения на проводнике, которое регистрируется как функция времени. Для проведения этих экспериментов широко используются средства передачи данных и обработка данных на ЭВМ. Имеется специальная программа ЭВМ для редактирования накопленных данных и построения графиков.

Пользуясь этими соотношениями, были рассчитаны изменения температуры проводника.

УДК 621.382

### МОДЕЛИ ОТКАЗОВ В ИНТЕГРАЛЬНЫХ МИКРОСХЕМАХ

## А.А. Рожков Самарский университет, г. Самара

Одним из распространённых отказов полупроводниковых микросхем является короткое замыкание. Известно, что образование короткого замыкания связано с диффузией материала проводника по сквозной поре в окисной пленке. Процесс приводит к уменьшению значения пробивного напряжения элемента  $U_{np}$  и описывается формулой:

$$U_{np}(t) = \frac{U_{np}(0)}{d_0} \cdot (d_0 - 2\alpha\sqrt{Dt})$$

где 
$$D = D_0 \cdot \exp(\frac{E_{\alpha}}{k_T}), E_{\alpha} = 1,2$$
 эВ,  $D_0 = 10^{-2}...10^{-3}$  см $^2/_{\mathrm{C}}$  .

Здесь  $U_{np}(0)$  — первоначальное значение пробивного напряжения;  ${\rm d}_0$  — первоначальное расстояние между металлизированной дорожкой и кремнием вблизи сквозной поры;  ${\rm D}$  — коэффициент диффузии материала проводника (Al) по поверхности сквозной поры;  $E_{\alpha}$  — энергия активации процесса диффузии;  $\alpha$  — постоянная. Если принять за критерий отказа допускаемое значение отношения первоначального напряжения к